

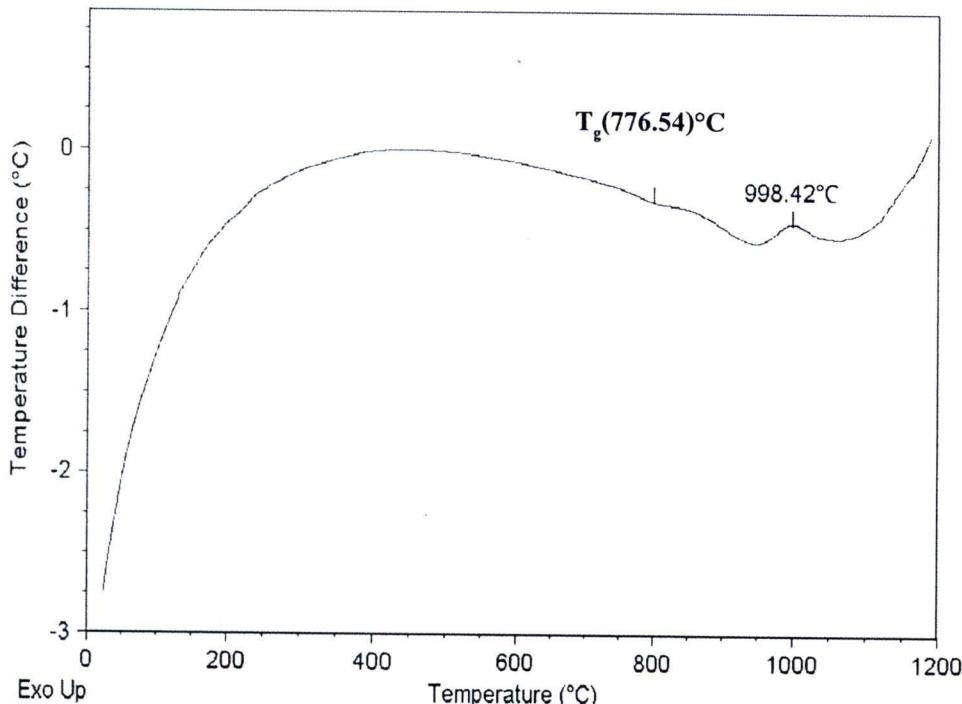
## บทที่ 4

### ผลการทดลอง และ วิเคราะห์ผลการทดลอง



#### การตรวจสอบการเกิดปฏิกิริยาที่อุณหภูมิต่าง ๆ โดยเครื่อง DTA

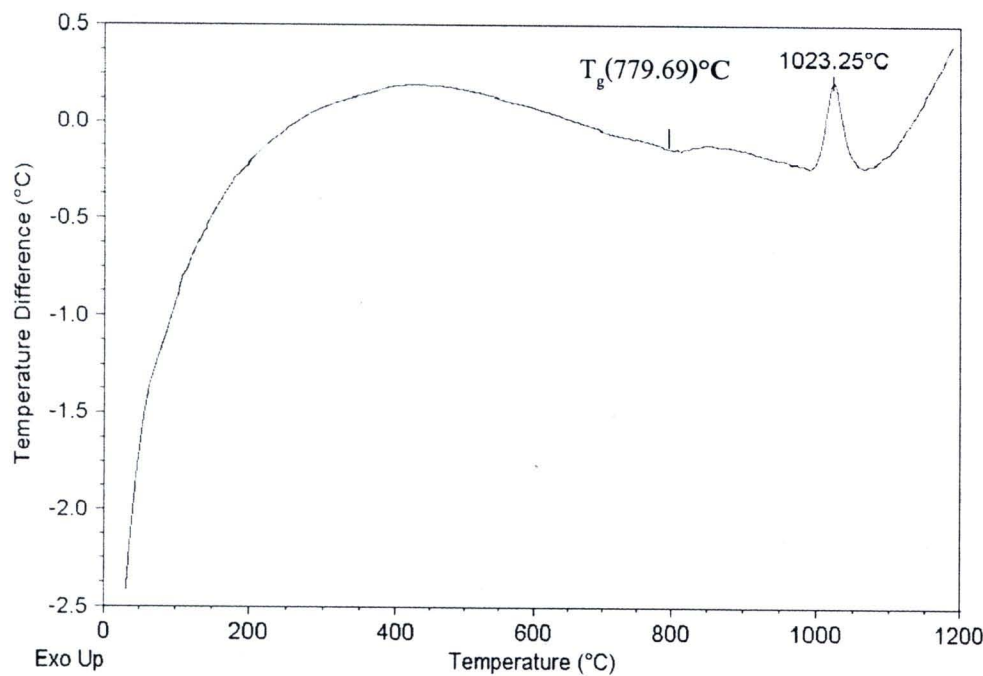
ผลการทดสอบเคลือบด้วยการวิเคราะห์ด้วยเครื่อง Differential thermal analysis (DTA)



รูปที่ 4.1 การวิเคราะห์ด้วยเครื่อง Differential thermal analysis (DTA) สูตรที่ Z12

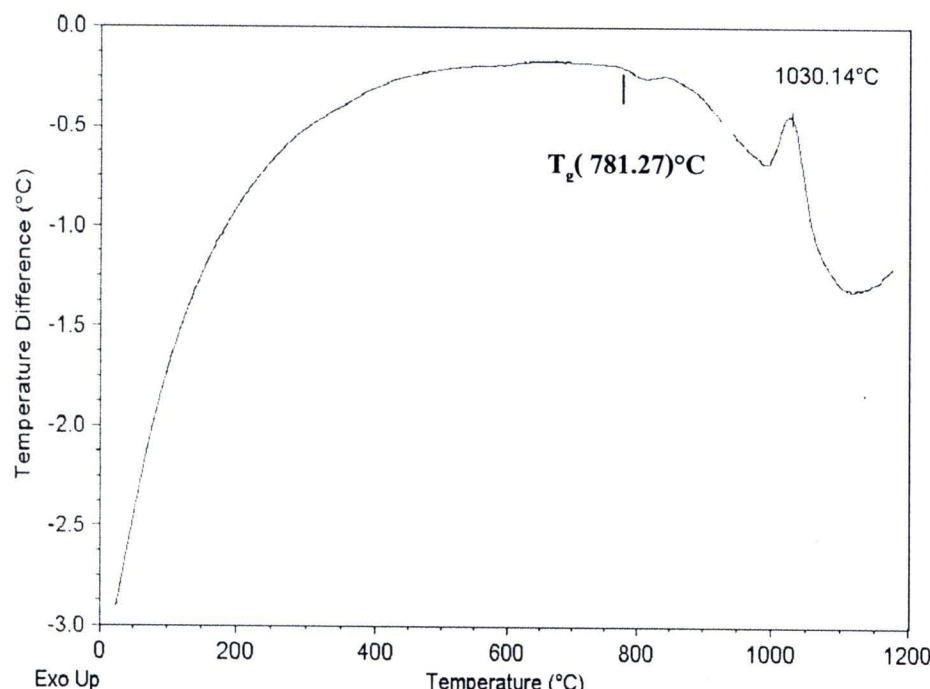
จากรูปที่ 4.1 จะเห็นได้ว่าช่วง Glass transition temperature ของเคลือบสูตร Z12 จะอยู่ที่ อุณหภูมิ  $776.54^{\circ}\text{C}$  และ Crystallization temperature ซึ่งเป็นอุณหภูมิที่ทำให้เกิดการตกผลึกจะเห็นได้ จากปฏิกิริยาความร้อนเกิดขึ้นที่อุณหภูมิ  $998.42^{\circ}\text{C}$





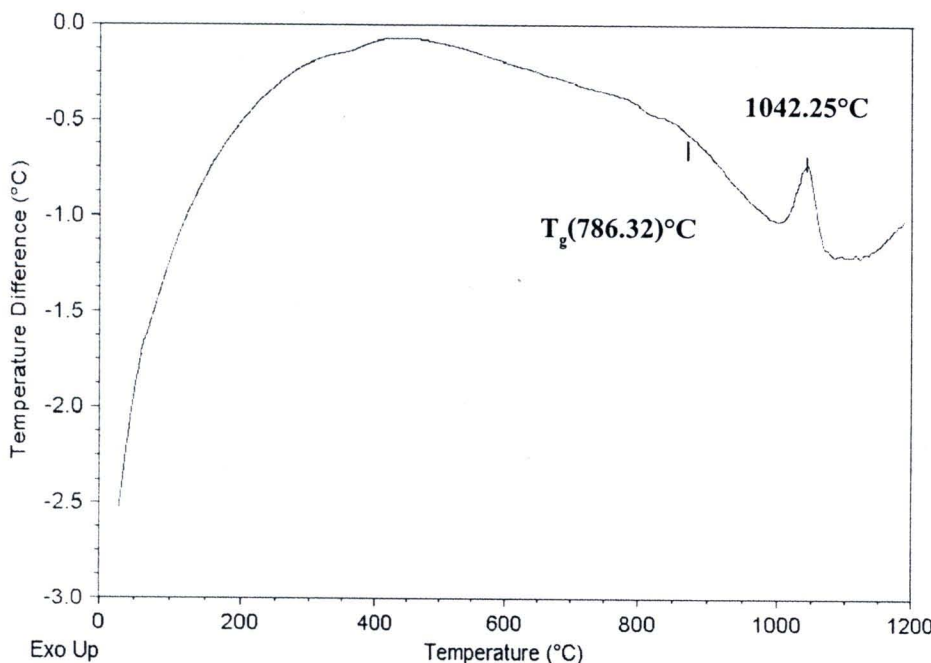
รูปที่ 4.2 การวิเคราะห์ด้วยเครื่อง Differential thermal analysis (DTA) สูตรที่ Z13

จากรูปที่ 4.2 จะเห็นได้ว่าช่วง Glass transition temperature ของเคลือบสูตร Z12 จะอยู่ที่ อุณหภูมิ  $779.69^\circ\text{C}$  และ Crystallization temperature ซึ่งเป็นอุณหภูมิที่ทำให้เกิดการตกผลึกจะเห็นได้ จากปฏิกิริยาความร้อนเกิดขึ้นที่อุณหภูมิ  $1023.25^\circ\text{C}$



รูปที่ 4.3 การวิเคราะห์ด้วยเครื่อง Differential thermal analysis (DTA) สูตรที่ Z14

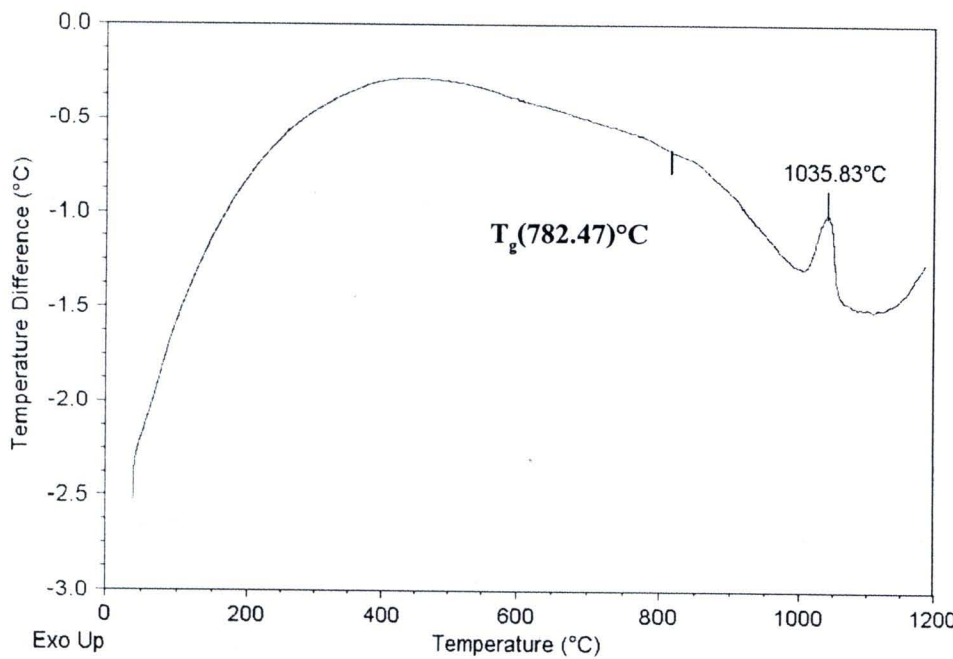
จากรูปที่ 4.3 จะเห็นได้ว่าช่วง Glass transition temperature ของเคลือบสูตร Z12 จะอยู่ที่ อุณหภูมิ  $781.27^{\circ}\text{C}$  และ Crystallization temperature ซึ่งเป็นอุณหภูมิที่ทำให้เกิดการตกผลึกจะเห็นได้ จากปฏิกริยาความร้อนเกิดขึ้นที่อุณหภูมิ  $1030.14^{\circ}\text{C}$



รูปที่ 4.4 การวิเคราะห์ด้วยเครื่อง Differential thermal analysis (DTA) สูตรที่ Z15

จากรูปที่ 4.4 จะเห็นได้ว่าช่วง Glass transition temperature ของเคลือบสูตร Z12 จะอยู่ที่ อุณหภูมิ  $786.32^{\circ}\text{C}$  และ Crystallization temperature ซึ่งเป็นอุณหภูมิที่ทำให้เกิดการตกผลึกจะเห็นได้ จากปฏิกริยาความร้อนเกิดขึ้นที่อุณหภูมิ  $1042.25^{\circ}\text{C}$





รูปที่ 4.5 การวิเคราะห์ด้วยเครื่อง Differential thermal analysis (DTA) สูตรที่ Z16

จากรูปที่ 4.5 จะเห็นได้ว่าช่วง Glass transition temperature ของเคลือบสูตร Z12 จะอยู่ที่ อุณหภูมิ  $782.47^\circ\text{C}$  และ Crystallization temperature ซึ่งเป็นอุณหภูมิที่ทำให้เกิดการตกผลึกจะเห็นได้ จากปฏิกริยาความร้อนเกิดขึ้นที่อุณหภูมิ  $1035.83^\circ\text{C}$

ตารางที่ 4.1 แสดงอุณหภูมิการเกิดปฏิกริยาจากการวิเคราะห์ด้วย Differential thermal analysis (DTA)

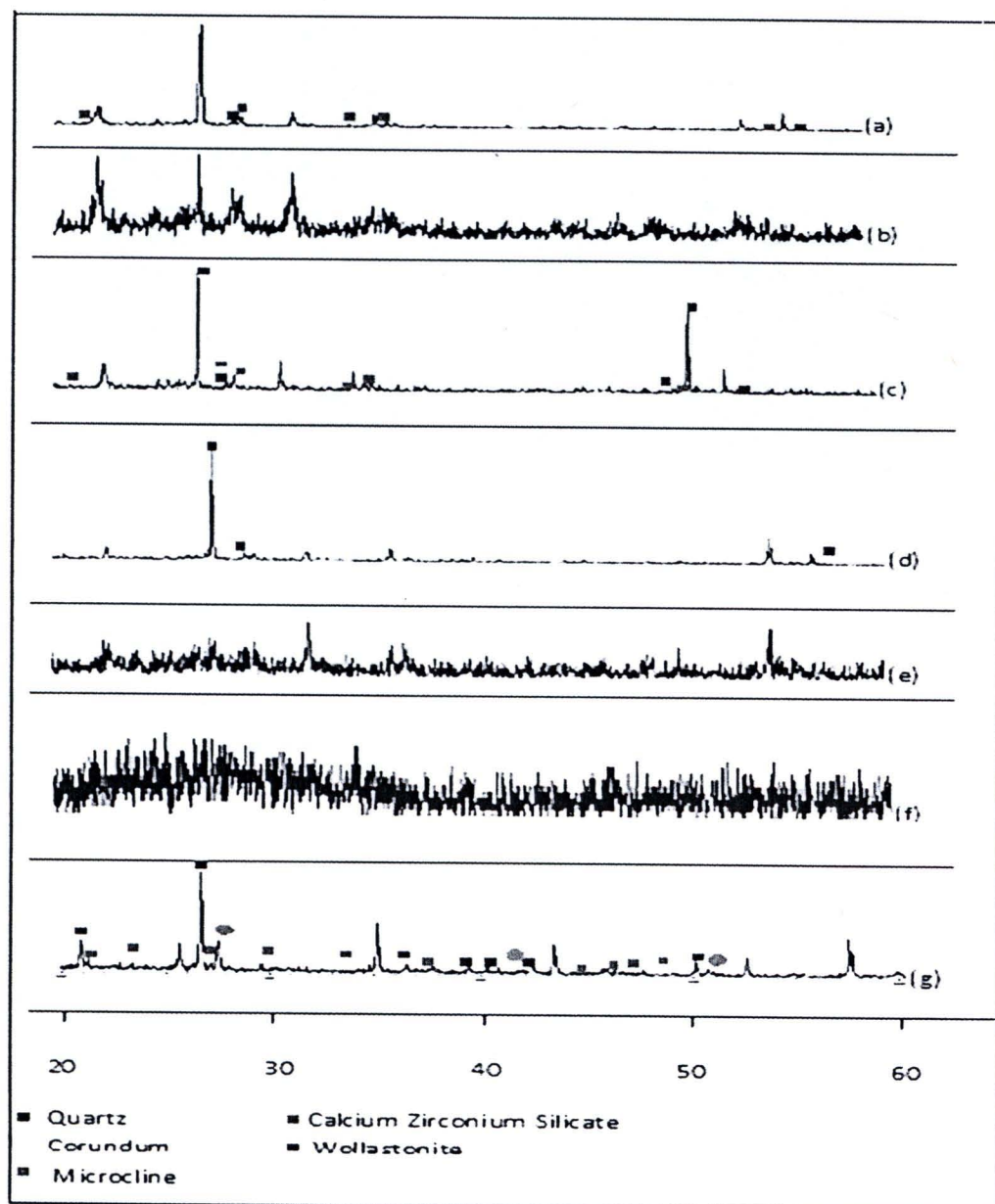
Glass powder		
ข้อสร้าง	$T_g$ (°C)	$T_p$ (°C)
Z12	776.54	998.42
Z13	779.69	1023.25
Z14	781.27	1030.14
Z15	786.32	1042.25
Z16	782.42	1035.83

$T_p$  = the crystallization temperature ,  $T_g$  = glass transition temperature

จากการตรวจสอบหาปฏิกริยาที่เกิดขึ้นทางความร้อนพบว่า แผ่นเคลือบแต่ละสูตรจะมีอุณหภูมิในช่วง Glass transition ใกล้เคียงกันและอุณหภูมิในการตกผลึก (crystallization temperature) ดังแสดงในตาราง ด้านบน

### ผลจากการตรวจวัสดุภาคจาก X-ray diffraction pattern

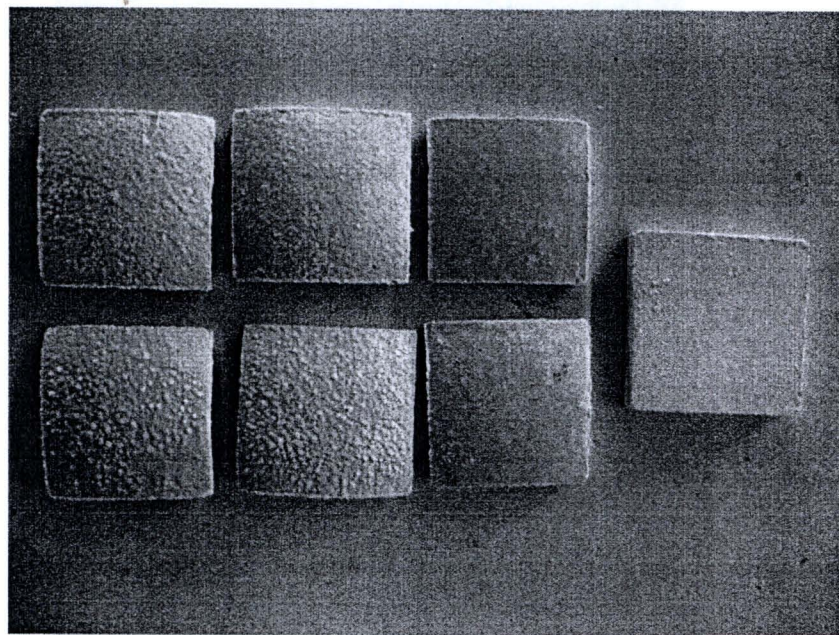
จากการตรวจสอบวัสดุภาคที่เกิดขึ้นบริเวณผิวเคลือบพบว่ามีวัสดุภาคของ Wallastonite และ Calcium Zirconium Silicate เกิดขึ้นที่บริเวณผิวเคลือบซึ่งปริมาณที่เกิดขึ้นยังไม่มากนักโดยอาจจะเกิดจากกระบวนการเผาซึ่งยังไม่ทำให้ผลึกที่เกิดขึ้นมีปริมาณและขนาดที่ใหญ่มากพอยังอาจต้องมีการปรับเปลี่ยนกระบวนการเผาเพื่อให้ได้ปริมาณผลึกมากเพิ่มขึ้น สังเกตุได้จากความเข้มของพีคเอ็กชเรีย์ที่ปรากฏ ดังรูปที่ 4.6



รูปที่ 4.6 ผลการวิเคราะห์เคลือบด้วยเครื่อง X-Ray Diffraction (XRD) ของสูตร Z16 = a , สูตร Z15 = b , สูตร Z14 = c , สูตร Z13 = d , สูตร Z12 = e สูตร Z12(ยังไม่ได้เผา) = f , Body = g

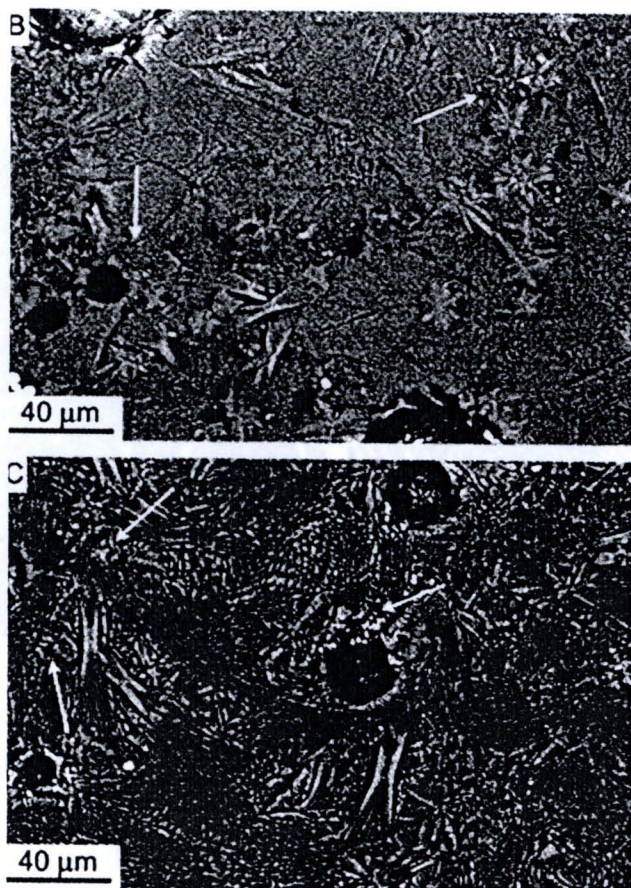
## การศึกษาลักษณะโครงสร้างจุลภาคของกระเบื้องเซรามิกชนิดทนกรด

### การศึกษาลักษณะเฉพาะของกระเบื้องเซรามิกชนิดทนกรด



รูปที่ 4.7 ภาพของขั้นงานกระเบื้องสูตรต่างๆที่ผ่านการเผาเคลือบแล้ว

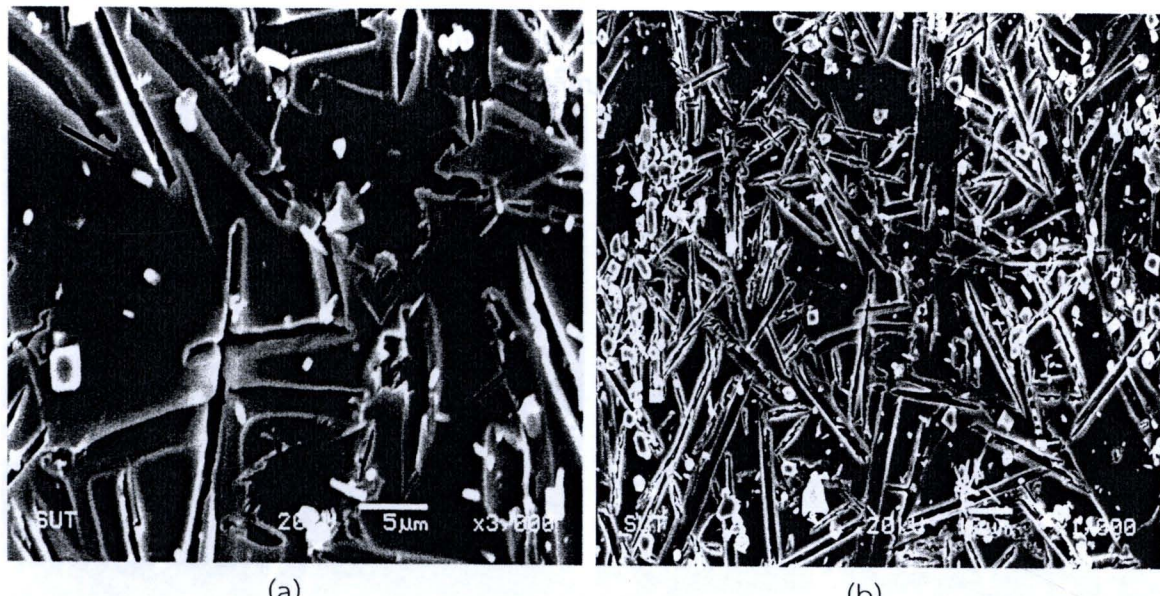
ภาพแสดงลักษณะโครงสร้างจุลภาคของกระเบื้องเซรามิกชนิดทนกรดโดยใช้กล้องจุลทรรศน์อิเล็กทรอนแบบส่องผ่าน ของแหล่งข้อมูลอ้างอิง(K.J. Hong, J.M. Kim, H.S. Kim)



รูปที่ 4.8 การวิเคราะห์ด้วยเครื่อง Scanning Electron Microscope (SEM) ของแหล่งข้อมูลอ้างอิง ([K.J. Hong และคณะ, (2003)])

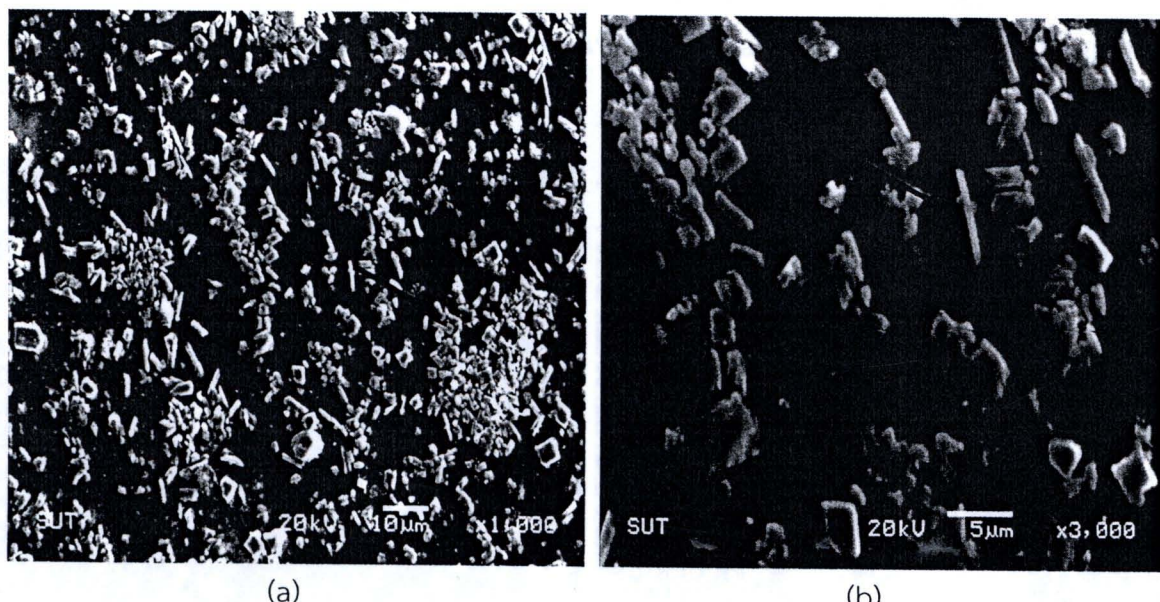
จากรูปที่ 4.8 แสดงให้เห็นถึงผลึก Wollastonite และ Calcium zirconium silicate โดยบริเวณที่ลูกศรชี้จะพบผลึกของ Wollastonite ที่บริเวณผิวน้ำของเคลือบและเกิดการตกผลึกของ Calcium zirconium silicate เป็นเม็ดสีขาวๆเกิดขึ้นที่บริเวณรูพรุนของผิวเคลือบ

ภาพแสดงลักษณะโครงสร้างจุลภาคของระเบื้องเซรามิกชนิดทันกรดโดยใช้กล้องจุลทรรศน์อิเล็กตรอนแบบส่องผ่าน



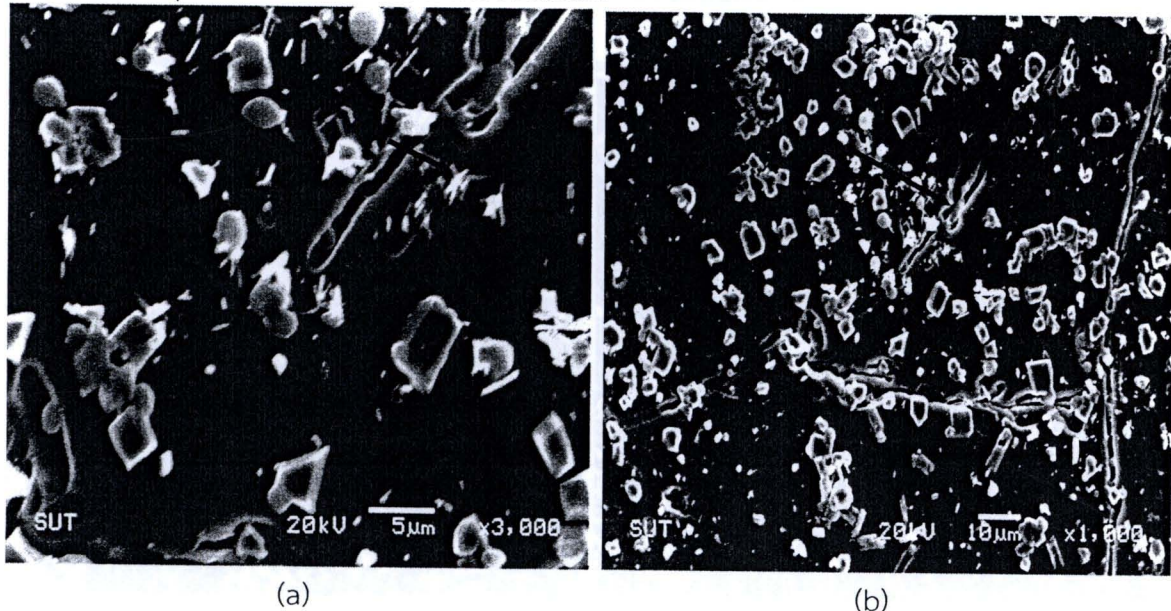
รูปที่ 4.9 Scanning electron microscope (SEM) ก่อนทดสอบความต้านทานการกัดกร่อนของเคลือบสูตร Z13 ที่ไม่ได้ทำการตกผลึก (recrystallization) ที่อุณหภูมิ  $1050^{\circ}\text{C}$

จากรูปที่ 4.9 (a) และ (b) ที่กำลังขยายต่างกันจะเห็นได้ว่าผิวเคลือบยังหลอมตัวได้ไม่สมบูรณ์แต่ในขณะเดียวกันก็เกิดผลลัพธ์ขึ้นเป็นแท่งขี้นบริเวณผิวของเคลือบ แต่ยังมีขนาดเล็กมาก ซึ่งเมื่อเปรียบเทียบกับแหล่งข้อมูลอ้างอิงจะพบว่ามีปริมาณผลลัพธ์ที่เกิดขึ้นน้อย และผิวเคลือบยังไม่สุกตัวเท่าที่ควร



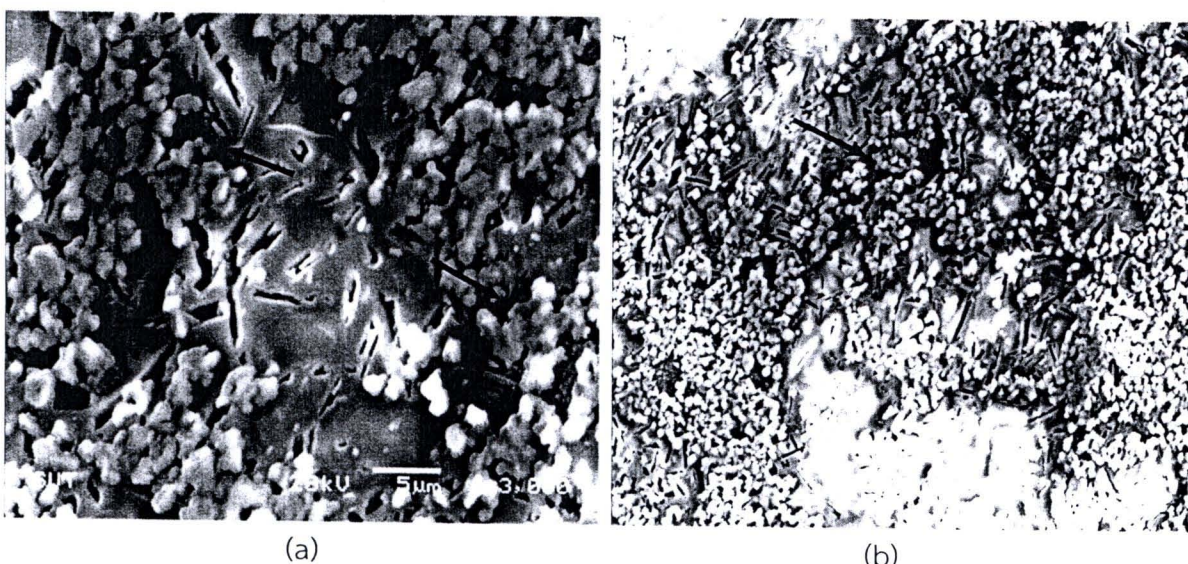
รูปที่ 4.10 Scanning electron microscope (SEM)หลังทดสอบความต้านทานการกัดกร่อนของเคลือบสูตร Z13 ที่ไม่ได้ทำการตกผลึก(recrystallization) ที่อุณหภูมิ  $1050^{\circ}\text{C}$

จากรูปที่ 4.10 (a) และ (b) จะพบว่าหลังจากการทดสอบความต้านทานการกัดกร่อนของเคลือบจะเห็นว่าบริเวณที่ไม่ถูกการกัดกร่อนจากการดัดแปลงจะเป็นผลึกในขณะที่เนื้อเคลือบที่เป็นแก้วนั้นถูกกัดกร่อนลงไป เมื่อวิเคราะห์จากภาพกำลังขยายสูงขึ้นจะเห็นได้ว่ากระบวนการตกผลึกนั้นจะเกิดจากบริเวณผิวน้ำแล้วค่อยๆ เป็นผลึกเติบโตเข้าไปในเนื้อของเคลือบ



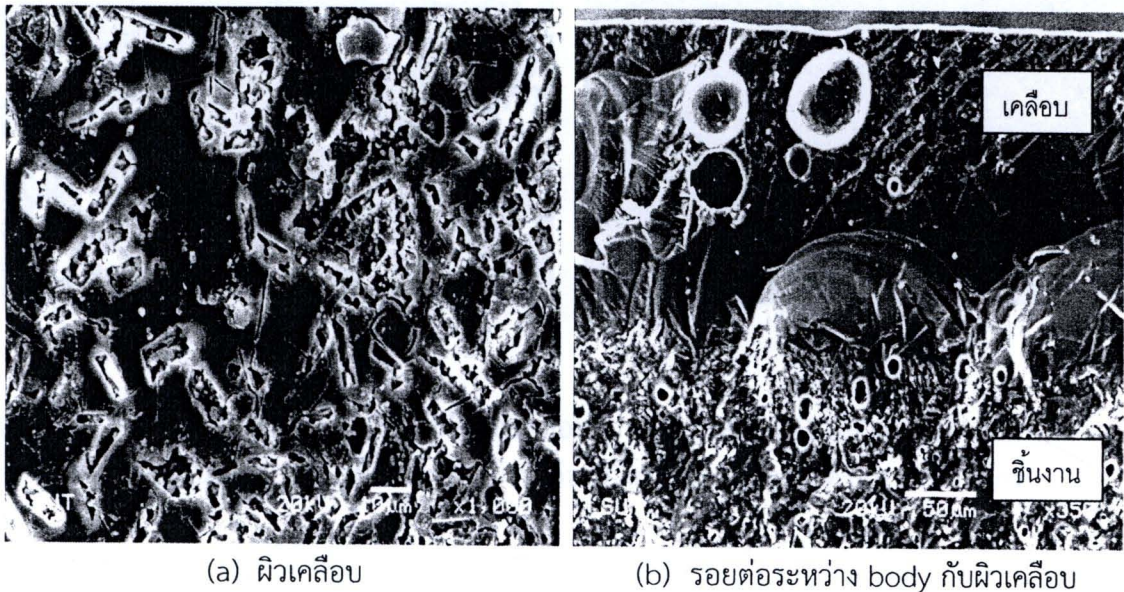
รูปที่ 4.11 Scanning electron microscope (SEM) ก่อนทดสอบความต้านทานการกัดกร่อนของเคลือบสูตร Z14 ที่ไม่ได้ทำการตกผลึก (recrystallization) ที่อุณหภูมิ  $1050^{\circ}\text{C}$

จากรูปที่ 4.11 ของสูตร Z14 ทั้งภาพ (a) และ (b) จะเห็นได้ว่าผิวเคลือบเริ่มจะมีการหลوبตัวที่ดีขึ้นแต่ยังคงพบว่าเกิดรอยร้าวขึ้นอันเนื่องมาจากค่าสัมประสิทธิ์การขยายตัวทางความร้อนที่แตกต่างกันระหว่างผิวเคลือบกับชั้นงานกระเบื้องและจะพบว่าเกิดเป็นผลึกรูปเข็มของ Wollastonite ขึ้นที่บริเวณผิวน้ำของเคลือบ เช่นเดียวกัน



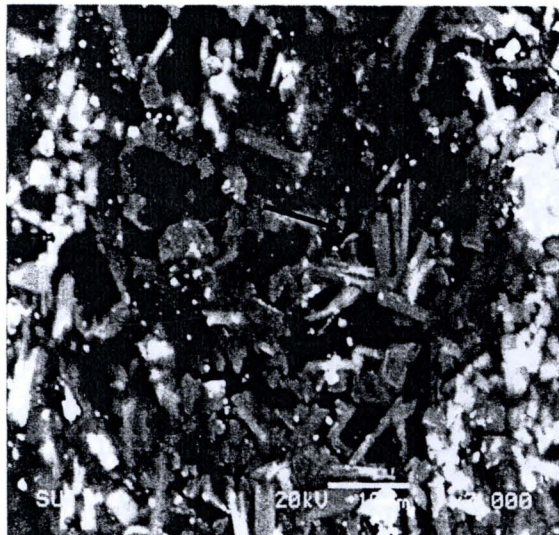
รูปที่ 4.12 Scanning electron microscope (SEM) หลังทดสอบความต้านทานการกัดกร่อนของเคลือบสูตร Z14 ที่ไม่ได้ทำการตกผลึก (recrystallization) ที่อุณหภูมิ  $1050^{\circ}\text{C}$

จากรูปที่ 4.12 ทั้ง (a) และ (b) จะพบว่าเนื้อเคลือบที่เป็นแก้วถูกกัดกร่อนลงไปมากคงเหลือแต่ส่วนที่เป็นผลึกและยังไม่เกิดการเติบโตของผลึกเป็นรูปร่างที่ชัดเจนซึ่งเมื่อเปรียบเทียบกับรูปที่ 4.11 ทั้ง (a) และ (b) นั้นจะเห็นได้ว่าการทำการเผาเคลือบันั้นจะให้มีความหนาแน่นที่ดียังคงทำได้ยากเนื่องจากความหนืดของเคลือบเป็นอุปสรรคต่อการกำจัดรูพรุนที่เกิดขึ้นในเนื้อเคลือบที่เป็นแก้ว

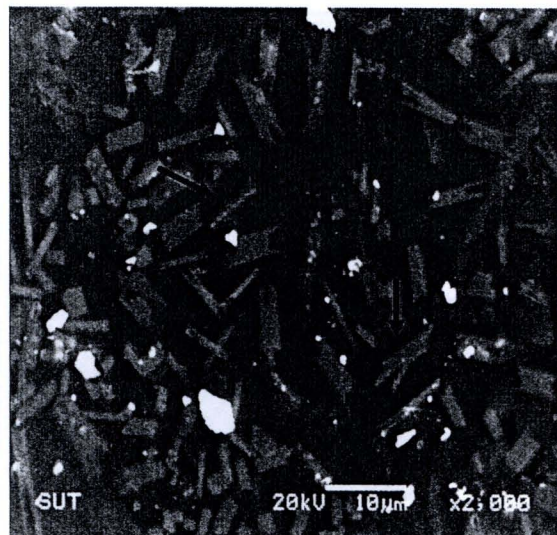


รูปที่ 4.13 Scanning Electron Microscope (SEM) โดยการทำการทดสอบความด้านทานการกัดกร่อนของสูตร Z12 ที่ทำการตกผลึก (recrystallization) ที่อุณหภูมิ  $1050^{\circ}\text{C}$  เป็นเวลา 30 นาที

จากรูปที่ 4.13 ภาพ (a) เป็นบริเวณผิวเคลือบหลังถูกทดสอบความทานการกัดกร่อนจากการด แล้ว และ (b) เป็นรอยต่อระหว่างผิวเคลือบกับชั้นงานจะพบว่าเนื่องจากเคลือบสูตร Z12 เมื่อทำการเผาแล้วเคลือบเกิดการไม่สูกตัวทำให้มีการทำการทดสอบด้วยกรดจึงเกิดการกัดกร่อนบริเวณผิวเคลือบ และจะพบว่ายังคงมีรูพรุนเกิดขึ้นทั้งในเนื้อเคลือบ และบริเวณรอยต่อของเคลือบกับชั้นงาน



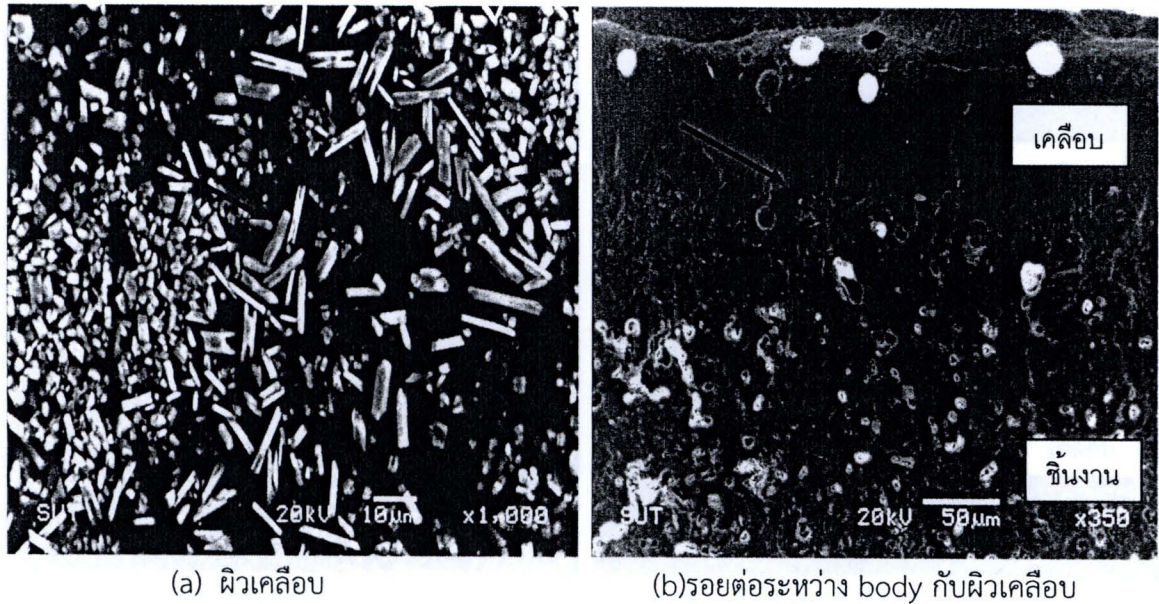
(a) Z13



(b) Z14

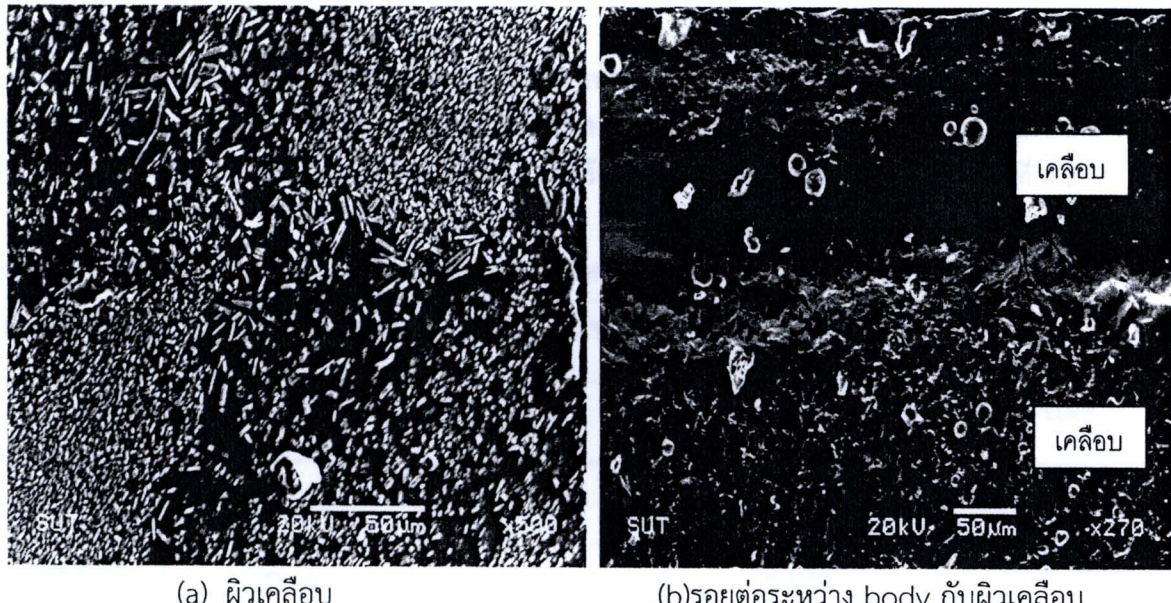
**รูปที่ 4.14** SEM ของผิวเคลือบกระเบื้องที่ทำการเคลือบด้วยเคลือบสูตร Z13 (a) และ Z14 (b) ที่ทำการตกผลึกที่อุณหภูมิ  $1050^{\circ}\text{C}$  เป็นเวลา 30 นาที ก่อนทำการทดสอบความต้านทานการกัดกร่อน

จากรูปที่ 4.14 ภาพ SEM แสดงโครงสร้างจุลภาคของกระเบื้องเซรามิกชนิดทนกรด เมื่อทำการตกผลึกที่อุณหภูมิ  $1050^{\circ}\text{C}$  เป็นเวลา 30 นาทีจะพบความแตกต่างที่ชัดเจนบริเวณผิวเคลือบเมื่อเทียบกับขั้นงานเคลือบที่ไม่ได้ทำการตกผลึกที่อุณหภูมิเดียวกัน โดยเคลือบที่ทำการตกผลึกนั้นจะเกิดผลึกขึ้นชัดเจน และมีขนาดใหญ่กว่าเคลือบที่ไม่ได้ทำการตกผลึกซึ่งแสดงให้เห็นถึงกระบวนการเผาเคลือบที่มีผลต่อการตกผลึกและขนาดของผลึก



**รูปที่ 4.15** Scanning Electron Microscope (SEM) ในการทำการทดสอบความด้านทานการกัดกร่อนของสูตร Z13 ที่ทำการตกผลึก (recrystallization) ที่อุณหภูมิ  $1050^{\circ}\text{C}$  เป็นเวลา 30 นาที

จากรูปที่ 4.15 ภาพ SEM แสดงโครงสร้างจุลภาคของกระเบื้องเซรามิกชนิดทนกรด ในการทำ Chemical Etching สามารถอธิบายได้ว่า (a) ผิวเคลือบ เคลือบมีการสูญเสีย จึงสามารถเห็นผลึกบนผิวเคลือบ ได้อย่างชัดเจนซึ่งมีลักษณะเป็นรูปเข็มของ Wollastonite (b) รอยต่อระหว่าง body กับผิวเคลือบ จะพบว่า เคลือบสามารถยึดติดกับ ขั้นผิว body ได้ดี แต่จะสังเกตเห็นว่าจะมีรูพรุนเพียงเล็กน้อย



รูปที่ 4.16 Scanning Electron Microscope (SEM) ในการทำการทดสอบความด้านทานการกัดกร่อนของสูตร Z14 ที่ทำการตกผลึก (recrystallization) ที่อุณหภูมิ  $1050^{\circ}\text{C}$  เป็นเวลา 30 นาที

จากรูปที่ 4.16 ภาพ SEM แสดงโครงสร้างจุลภาคของกระเบื้องเซรามิกชนิดทนกรด ในการทำ Chemical Etching สามารถอธิบายได้ว่าที่ผิวเคลือบ จะสังเกตเห็นว่า ผลึกรูปเข็ม ที่ปราศจากไนชัดเจน เนื่องจากเคลือบไม่สุกตัวและรอยต่อระหว่าง body กับผิวเคลือบ จะพบว่าเคลือบสามารถยึดติดกับ ขั้นผิว body ได้ดี แต่จะมีรูพรุนเกิดขึ้นเนื่องจากเคลือบมีความหนืด และแรงตึงผิวสูง จึงเกิดเป็นฟองอากาศที่ไม่สามารถหลุดออกໄไปในช่วงการหลอมตัว ซึ่งโดยทั่วไปแล้วเคลือบทุกชนิดจะมีฟองอากาศอยู่ภายในซึ่งเป็นฟองอากาศเล็ก ๆ อยู่มาก many ซึ่งไม่ได้เป็นปัญหาหากตัวเคลือบมามายนัก แต่ถ้าฟองอากาศนั้นมีขนาดใหญ่ หรืออยู่ใกล้ผิวเคลือบมาก มันก็จะเป็นตัวทำให้เกิดปัญหากับผิวเคลือบได้ เช่น ความแข็งแรงลดลง

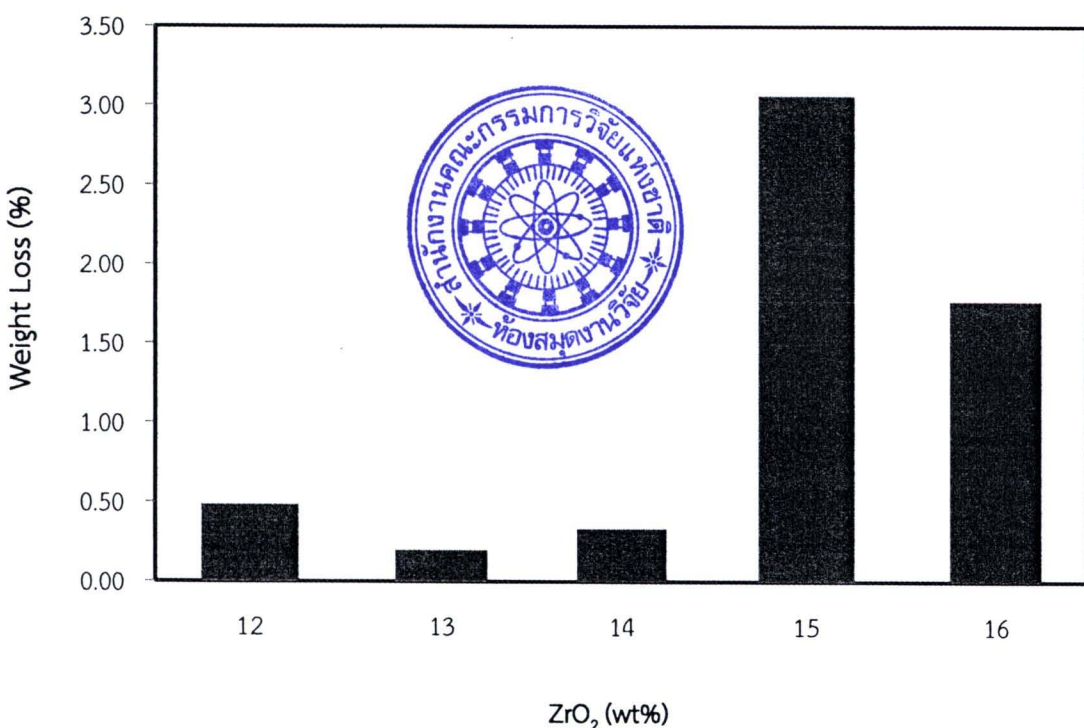
หมายเหตุ : เคลือบของสูตร Z15 และเคลือบของสูตร Z16 จะมีลักษณะคล้ายกับเคลือบของสูตร Z12 เนื่องจากเคลือบไม่สุกตัว เพราะมีปริมาณของเซอร์โคเนียมมากเกินไปจึงทำให้เคลือบมีความทนไฟสูง จึงไม่หลอมตัวแล้วเกิดการตกผลึกในช่วงอุณหภูมิที่ทำการเผา

### การทดสอบการทานการกัดกร่อนกรด

จากการทดสอบขึ้นงานที่ผ่านการเผาเคลือบมาทดสอบความทนทานต่อการกัดกร่อนของกรดด้วยการแข็งหัวน้ำของขึ้นงานลงในสารละลายของกรดไฮโดรคลอริกความเข้มข้น 6 N เป็นเวลา 6 ชั่วโมง โดยทำการซั่งน้ำหนักก่อน-หลังการทดสอบเพื่อคำนวณหน้าที่หายไป ได้ผลดังแสดงในตารางที่ 4.2

ตารางที่ 4.2 น้ำหนักที่หายไปก่อนทำการทดสอบ และหลังทำการทดสอบ

ลำดับขึ้นงาน	น้ำหนักก่อนแซ่(g)	น้ำหนักหลังแซ่ (g)	น้ำหนักที่หายไป(g)	น้ำหนักที่หายไป(%)
สูตร Z12	38.546	38.358	0.188	0.49
สูตร Z13	38.522	38.445	0.077	0.20
สูตร Z14	38.641	38.512	0.129	0.33
สูตร Z15	38.301	37.128	1.173	3.06
สูตร Z16	38.314	37.636	0.678	1.77



รูปที่ 4.17 แสดงผลทดสอบความด้านทานการกัดกร่อนจากการเคลือบสูตรต่างๆ

สารเคลือบสูตร Z13 จะมีความด้านทานการกัดกร่อนจากการได้ดีที่สุดโดยเมื่อพิจารณาประกอบจากน้ำหนักที่heavyไปมีค่าน้อยที่สุด ตั้งแสดงในตารางที่ 4.2 และ กราฟรูปที่ 4.17 และจากภาพถ่ายของกล้อง Scanning Electron Microscope ในรูปที่ 4.15 จะพบว่าเคลือบมีการยึดเกาะกับผิวของกระเบื้องได้เป็นอย่างดี และมีผลึกของ Wollastonite มีปริมาณรูปrunน้อยเมื่อเปรียบเทียบกับเคลือบในสูตร Z12, Z14, Z15 และ Z16 ที่เคลือบไม่สุกตัว ซึ่งความสามารถในการทนการกัดกร่อนของผิวเคลือบนั้นจะมาจากการยึดเหนี่ยวระหว่างผิวเคลือบกับตัวกระเบื้องเป็นหลัก เมื่อเคลือบมีการยึดเกาะกับตัวกระเบื้องได้ดีจึงทำให้มีความสามารถในการทนทานการกัดกร่อนได้ดี และเมื่อพิจารณาจากโครงสร้างจุลภาคของเคลือบที่ไม่ได้ทำการตกผลึกที่อุณหภูมิ  $1050^{\circ}\text{C}$  จะเห็นความแตกต่างอย่างชัดเจน เพราะเคลือบที่ไม่มีผลึกเกิดขึ้นนั้นจะเกิดการกัดกร่อนเอาเนื้อเคลือบออกไป เนื่องจากผลึกที่เกิดขึ้นนั้นสามารถทานทานการกัดกร่อนของกรดได้เป็นอย่างดี